Pholcus bourgini Millot, 1941

Millot, J. 1941. Les araignées de l'Afrique occidentale Francaise. Sicariides et pholcides. Mémoires, Acad. Sci. Inst. France 64: 1-30.

p. 11

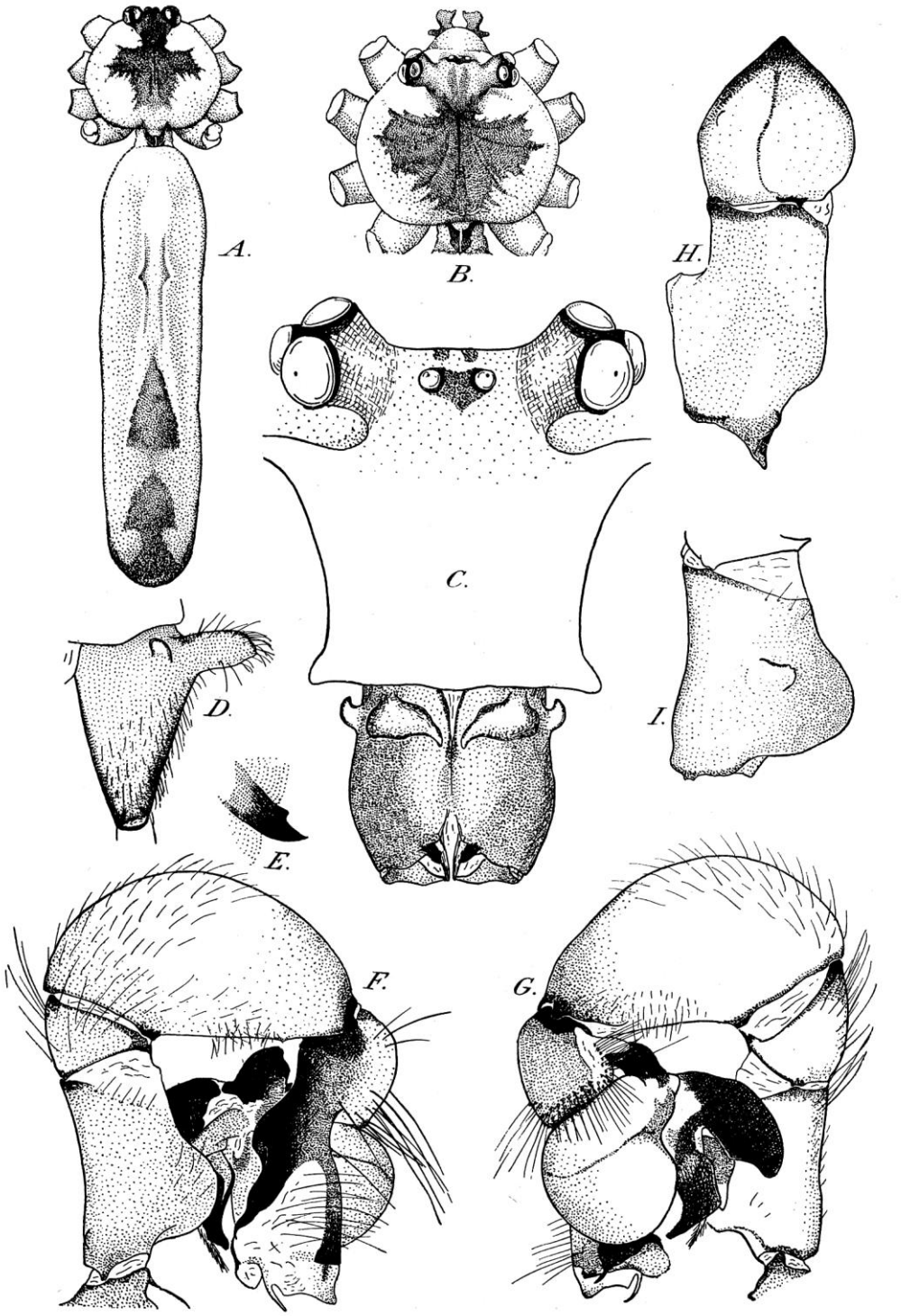

Fig. 4. — *Pholcus Bourgini* n. sp. : A, ♂, vue d'ensemble dorsale. B, céphalothorax en vue dorsale, légèrement surélevé à l'avant pour montrer la saillie de l'apophyse antérieure des chélicères. C, céphalothorax de face. D, chélicère de profil. E, dent antéro-interne du chélicère fortement grossie. F, palpe, vue externe. G, *id.*, vue interne. H, fémur et patelle du palpe, vue postérieure. I, face interne du fémur.

Pholcus Bourgini n. sp.

(*fig.* 4 et 4 *bis*).

♂. Coloration identique à celle de *Ph. Chattoni*. La tache grise foliolée du céphalothorax est un peu plus étendue. Le sternum est un peu plus sombre, et brunâtre plutôt que rougeâtre; éclairci sur les bords, il ne présente pas de liséré antérieur foncé. Mais à un examen superficiel, les deux espèces sont peu discernables.

L'identification de *Ph. Bourgini* est cependant facile : 1° l'écartement des yeux est beaucoup plus grand que dans les *Pholcus* précédents, les pédoncules oculaires étant plus longs et dirigés franchement en dehors (*fig.* 4 C).

2° Les chélicères sont caractéristiques (*fig.* 4 C et D). Ils portent : 1° au-dessous du bord inférieur du clypeus, une petite apophyse latérale, en forme de bec, dirigée vers le haut, et une apophyse antérieure plus grande, dont le sommet triangulaire à pointe interne a un bord antérieur grossièrement crénelé (*fig.* 4 *bis*); 2° au-dessous du crochet, une dent

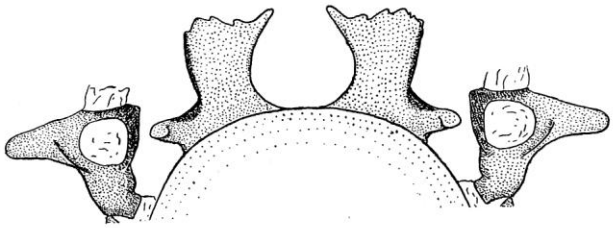

Fig. 4 *bis*. — *Pholcus Bourgini* n. sp. : ♂, extrémité antérieure du céphalothorax en vue dorsale montrant les trochanters des palpes et les apophyses antérieures saillantes des chélicères.

noirâtre, cylindro-conique, dirigée obliquement et en dedans, très semblable à celle de *Ph. Chattoni*, mais dont l'extrémité est plus nettement bifide (*fig.* 4 E).

3° Le trochanter de la patte-mâchoire est prolongé en dehors par une apophyse plus courte que celle de *Ph. Chattoni*, mais plus longue que celle de *Ph. guineensis*. Le fémur, court et épais, présente sur sa face interne une saillie irrégulièrement tronquée (*fig.* 4 H et I) et, à sa base, une tubérosité antérieure mousse. L'apophyse externe lamelleuse du tarse est élargie à son extrémité, dont la partie centrale claire est à peine chitinisée (*fig.* 4 F et G).

Longueur totale, $8^{mm},2$. Longueur du céphalothorax, $1^{mm},8$; largeur, $2^{mm},2$.

Guinée française. — Macenta : 2 ♂, type et cotype.

Huber, B. A. 2011. Revision and cladistic analysis of *Pholcus* and closely related taxa (Araneae, Pholcidae). Bonner zool. Monographien 58: 1-510.

p. 226

1050-1052. *Ph. bourgini*, male, dorsal and lateral views; female abdomen, ventral view.

p. 227

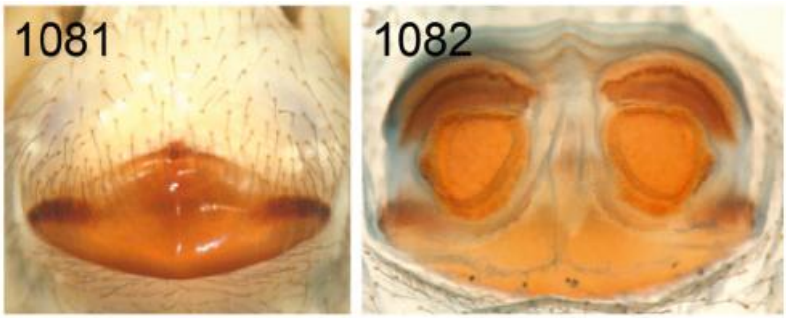

1081, 1082. *Ph. bourgini*.

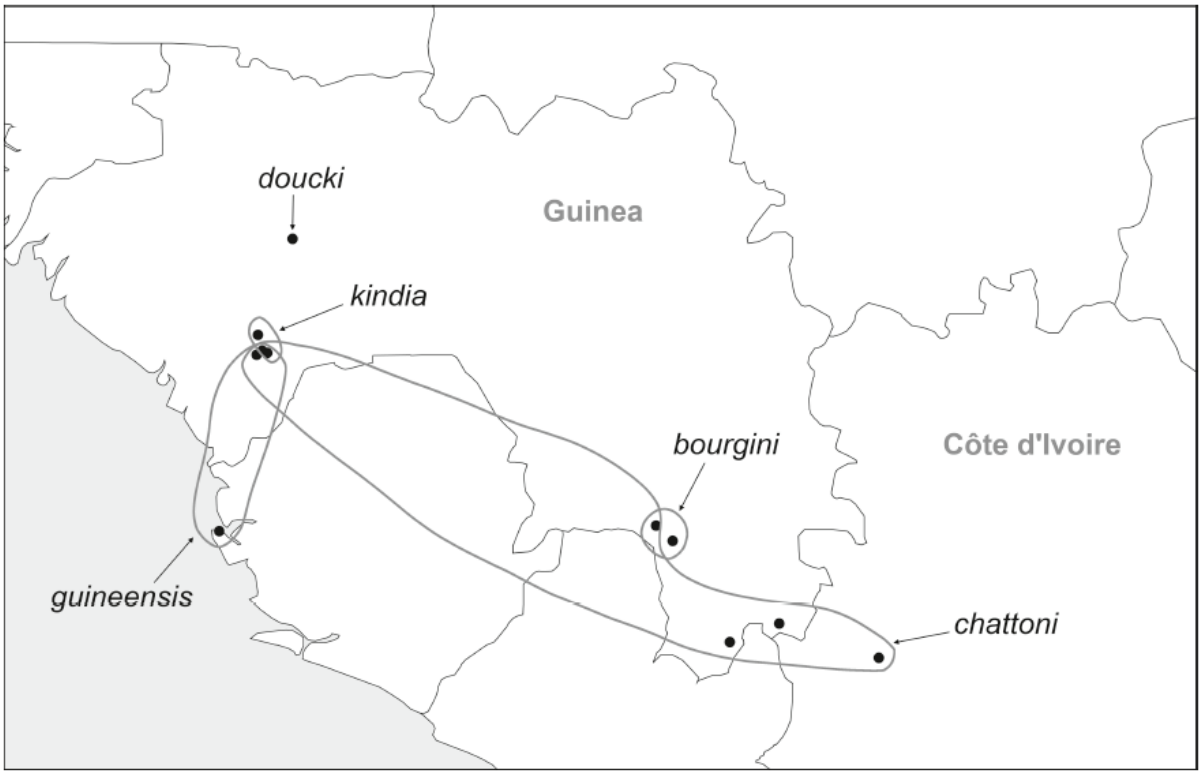

FIG. 1099. Known distribution of the *Pholcus guineensis* species group.

Pholcus bourgini Millot, 1941

Figs. 1050-1052, 1081, 1082, 1124-1138

Pholcus bourgini Millot 1941: 11-12, figs. 4A-I, 4bis.

Types. Male holotype and 1♂ paratype ("cotype") from Guinea, Nzérékoré Region, Macenta [~8°32'N, 9°28'W], viii.1937 (J. Millot), in MNHN (holotype without "AR" label; paratype AR 10238), examined.

Diagnosis. Easily distinguished from most congeners by male chelicerae with large frontal processes proximally (Fig. 1127); from similar *Ph. chattoni* by shapes of procursus and appendix (Figs. 1124-1126) and by female genitalia (Figs. 1081, 1128, 1129; shapes of pore plates and frontal arc).

Male (Forêt Classée de Ziama). Total body length 8.3, carapace width 2.2. Leg 1: 73.4 (17.7 + 0.9 + 18.0 + 32.7 + 4.1), tibia 2: 11.9, tibia 3: 8.4, tibia 4: 10.8, tibia 1L/d: 78. Habitus as in Figs. 1050 and 1051. Carapace ochre with large brown mark, ocular area with median brown band, clypeus not darkened, sternum light brown with lighter area (reddish) near coxae 2-4, legs brown, femora and tibiae subdistally dark brown, tips whitish, abdomen ochre gray with many dark internal marks dorsally and laterally, indistinct brown cuticular pattern dorsally and posterio-laterally, ventrally with distinct cuticular pattern (cf. female, Fig. 1052). Distance PME-PME 690 µm, diameter PME 220 µm, distance PME-ALE 90 µm, distance AME-AME 70 µm, diameter AME 95 µm. Ocular area elevated, many longer hairs posteriorly, each triad on short stalk directed laterally (Fig. 1130, longer than in *Ph. guineensis* and *Ph. chattoni*). No thoracic furrow; clypeus unmodified. Chelicerae as in Fig. 1127, with very large and distinctive proximal frontal apophyses (Fig. 1136; see also dorsal view in Millot 1941: fig. 4bis), distal apophyses with slender modified hairs (Fig. 1137). Sternum wider than long (1.4/1.2), unmodified. Palps as in Figs. 1124 and 1125, coxa unmodified, trochanter with small conical ventral projection and short rounded retrolateral apophysis (longer than appears in Fig. 1125), femur widened ventrally, with indistinct dorsal hump, procursus distally curved inwards (similar to *Ph. chattoni* but with clearly different distal structures; Figs. 1132, 1133), bulb with uncus and appendix similar to *Ph. chattoni* (Fig. 1131), embolus with long transparent distal fringed process (Fig. 1134). Legs without spines and curved hairs, few vertical hairs. Retrolateral trichobothrium on tibia 1 at 3%; prolateral trichobothrium absent on tibia 1, present on other tibiae; many tarsal pseudosegments but only distally ~10 fairly distinct. Gonopore with four epiandrous spigots (Fig. 1138); ALS with seven spigots each (Fig. 1135).

Variation. Tibia 1 in 9 other males: 14.9-18.7 (mean 16.6). The cuticular pattern on the abdomen is very constant, but the internal spots vary from barely visible to very distinct. The types are strongly bleached but otherwise in fair condition; all legs 1 missing.

Female. In general similar to male but triads not on stalks and closer together (distance PME-PME 400 µm), entire ocular area dark brown. Tibia 1 in 6 females: 13.5-14.5 (mean 14.0). Epigynum a sclerotized plate with anterior 'knob' (Figs. 1081, 1128), entire epigynal area protruding; internal genitalia as in Figs. 1082 and 1129.

Distribution. Known from Nzérékoré Region, Guinea, only (Fig. 1099).

Material examined. GUINEA: *Nzérékoré Region*: Macenta: 2♂ types above; Forêt Classée de Ziama (8°24.2'N, 9°19.3'W), 640 m a.s.l., 2.xii.2008 (B.A. Huber), 11♂8♀ (+ 1♂1♀ in pure ethanol) in ZFMK.

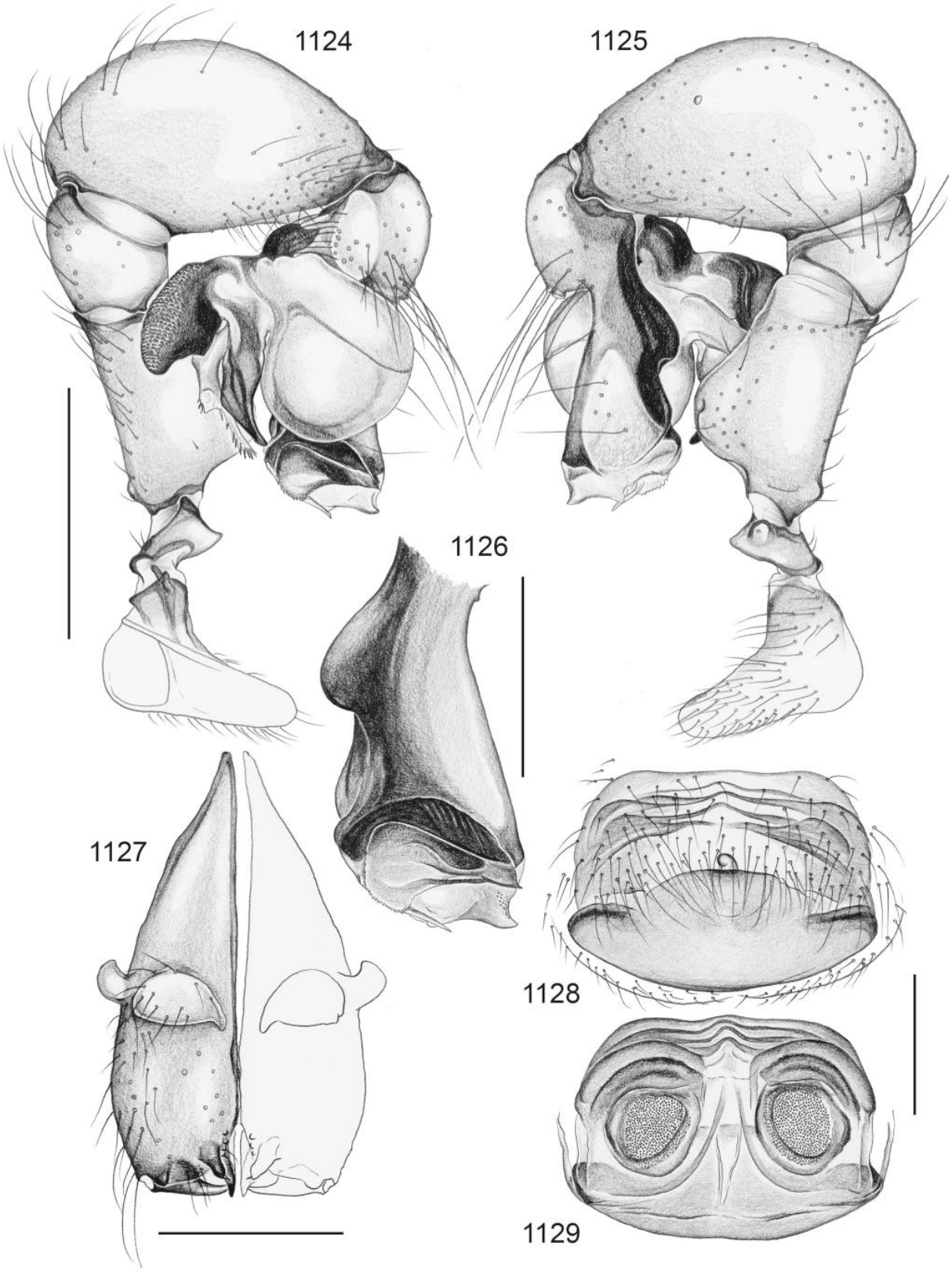

FIG. 1124-1129. *Pholcus bourgini*. 1124, 1125. Left male palp, prolateral and retrolateral views. 1126. Left procursus, prolateral view. 1127. Male chelicerae, frontal view. 1128, 1129. Cleared female genitalia, ventral and dorsal views. Scale lines: 1.0 (1124, 1125), 0.5 (1126-1129).

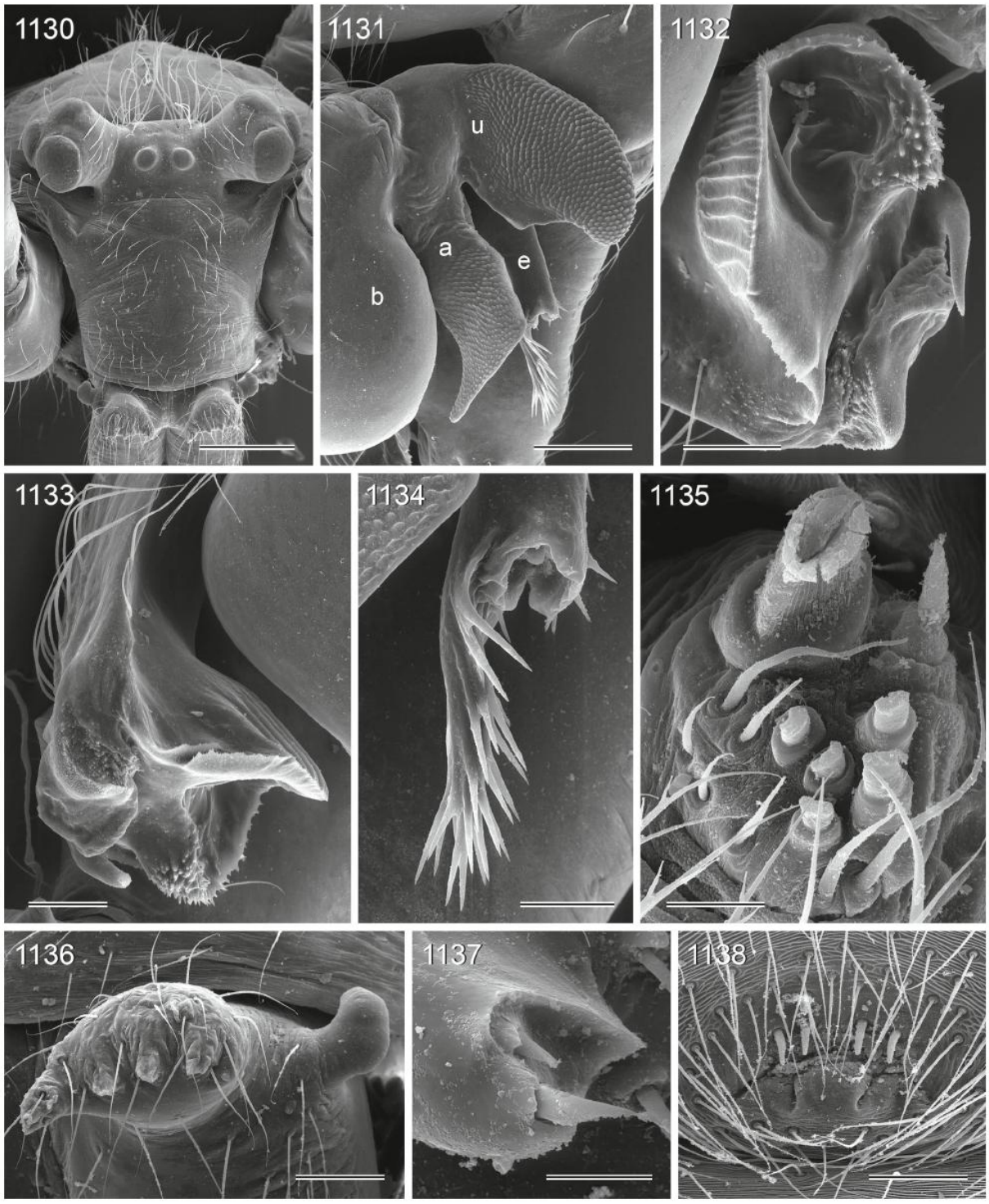

FIG. 1130-1138. *Pholcus bourgini*. 1130. Male prosoma, frontal view. 1131. Right bulbal processes, prolateral view. 1132, 1133. Tip of right procursus, distal and dorsal views. 1134. Tip of right embolus. 1135. Male ALS. 1136. Proximal male cheliceral apophyses. 1137. Distal male cheliceral apophysis. 1138. Male gonopore. Scale lines: 400 µm (1130), 200 µm (1131), 100 µm (1132, 1133, 1136, 1138), 60 µm (1134), 20 µm (1135, 1137).